

افزایش گذردهی در کanal HF به وسیله همسانساز بازخور تصمیم با الگوریتم QRD-RLS سریع

چندکاناله و استخراج ضرایب در حالت داده

یحیی روایی^{*} محمد مهدی نژادنوری^{**} محمدحسین مدنی^{***}

^{*} کارشناس ارشد، مرکز تحقیقات مخابرات، دانشگاه صنعتی مالک اشتر، تهران

^{**} دانشیار، مرکز تحقیقات مخابرات، دانشگاه صنعتی مالک اشتر، تهران

^{***} استادیار، مرکز تحقیقات مخابرات، دانشگاه صنعتی مالک اشتر، تهران

تاریخ پذیرش: ۱۳۹۲/۰۵/۳۰

تاریخ دریافت: ۱۳۹۲/۰۲/۳۰

چکیده

در این مقاله به افزایش گذردهی کانال فیدینگ چند مسیری متغیر با زمان HF از طریق همسانسازی باز خور تصمیم پرداخته شده است. به این منظور استفاده از الگوریتم فیلترینگ وفقی QRD-RLS سریع چندکاناله به همراه ایده استخراج ضرایب در چند لحظه مشخص در حالت داده، پیشنهاد شده است. برای بررسی صحت عملکرد الگوریتم QRD-RLS سریع چندکاناله کارایی آن با الگوریتم MIL-STD-188-110B استاندارد معموس مقایسه شده است. شبیه‌سازی تحت شرایط کانال با توجه به استاندارد MIL-STD-188-110B، انجام شده است. نتایج نشان می‌دهد روش پیشنهادی می‌تواند طول داده ارسالی در یک فریم و لذا میزان گذردهی را به ازای حجم محاسبات قابل قبولی، افزایش مطلوبی دهد. همچنین میزان گذردهی حاصله مشابه با حالتی است که از الگوریتم QRD-RLS سریع چندکاناله در همسانسازی به صورت-Full Iteration استفاده شود.

کلید واژگان: کanal HF، گذردهی، همسانسازی بازخور تصمیم(DFE)، فیلترینگ وفقی، استخراج ضرایب.

۱. مقدمه

باند فرکانسی ۲ تا ۳۰ مگاهرتز به دلیل امکان برقراری ارتباطات راه دور در آن، سال‌های زیادی مورد توجه کاربردهای نظامی و شهری بوده است. علی‌رغم مشکلات موجود در محیط انتشار کanal HF که باعث پیچیدگی در ساختار گیرنده شده است، امروزه با وجود ریز پردازنده‌های

قوی و پرسرعت امکان پیاده سازی الگوریتم‌های پیچیده فراهم شده است. از نظر فیزیکی کanal HF یک کanal چند مسیری متغیر با زمان می‌باشد که باعث گستردگی سیگنال در حوزه زمان و فرکانس می‌شود. محدودیت عده ارسال داده با سرعت بالا در کanal HF در اثر خصوصیات غیر ایده‌آل این کanal مانند: اعوچاجات غیر خطی، تغییرات سریع کanal، فیدینگ شدید، و محدودیت پهنه‌ی باند، می‌باشد. ارسال داده با نرخ برابر یا بیشتر از پهنه‌ی باند کanal (در حدود ۳kHz) به عنوان ارسال با نرخ بالا شناخته می‌شود [۱]. در حالت کلی برای حذف تداخل بین سعملی^۱ در این کanal به همسانسازی وفقی^۲ نیاز داریم، به دلیل ویژگی انتخاب کنندگی فرکانسی شدید (صرفهای طیفی) به تکنیک‌های همسانسازی غیر خطی مانند استفاده از همسانساز بازخور تصمیم^۳ یا تخمین‌گر حداقل شباهت (MLSE) یا الگوریتم ویتری^۴ نیاز می‌باشد. علی‌رغم عملکرد بهینه الگوریتم ویتری^۴ (MLSE)، بار محاسباتی بالا و حافظه زیاد مورد نیاز این الگوریتم کاربرد آن را محدود ساخته است. پیچیدگی محاسباتی این الگوریتم با افزایش طول پاسخ ضربه کanal به صورت نمایی افزایش می‌یابد. به علاوه یک مقایسه بین عملکرد همسانساز بازخور تصمیم و گیرنده MLSE در کanal‌های HF واقعی برتری قابل ملاحظه‌ای در استفاده از گیرنده MLSE نسبت به همسانساز بازخور تصمیم را نشان نداده است. پیچیدگی محاسباتی

^۱Intersymbol interference (ISI)

^۲Adaptive equalizer

^۳Decision feedback equalizer (DFE)

الگوریتم IQRD-RLS نیز همانند الگوریتم RLS از مرتبه N^2 می‌باشد. بنابراین به الگوریتمی نیاز داریم که خواص الگوریتم‌های مبتنی بر QRD-RLS را داشته و همچنین بار محاسباتی کمتری نیز داشته باشد. الگوریتم‌های QRD-RLS سریع^۸ مبتنی بر خطای پیشین بازگشتی، دسته محبوبي از الگوریتم‌های مبتنی بر RLS می‌باشند که به دلیل دارا بودن بار محاسباتی کم و پایداری عددی، شناخته شده می‌باشند [۵]-[۷]. ایده اصلی به کار رفته در الگوریتم‌های FQRD-RLS استفاده از خاصیت ساختار شیفت زمانی بردار داده ورودی به منظور جایگزینی معادلات بهروزرسانی ماتریسی با معادلات بهروزرسانی برداری، می‌باشد [۸]. محدودیت اصلی الگوریتم‌های FQRD-RLS عدم ارائه بردار ضرایب می‌باشد. به علاوه، این الگوریتم‌ها متغیرهایی که برای محاسبه بردار ضرایب لازم می‌باشند را برخلاف الگوریتم QRD-RLS معمولی که در آن طی یک فرایند جایگذاری بازگشتی بردار ضرایب محاسبه می‌شود، به صورت واضح در اختیار قرار نمی‌دهد. این مشکل کاربرد این الگوریتم در ساختار همسان‌ساز را محدود می‌سازد. به کمک الگوریتم کمکی استخراج ضرایب^۹ می‌توان بردار ضرایب را در هر لحظه محاسبه نمود و بنابراین می‌توان به خوبی از الگوریتم QRD-RLS سریع چند کاناله^{۱۰} در کاربرد همسان‌ساز بازخور تصمیم نیز استفاده نمود [۹]. بار محاسباتی الگوریتم MC-FQRD-RLS در دوره ورق پذیری از مرتبه N می‌باشد و واضح است که در صورت عدم نیاز به بردار ضرایب در هر تکرار (معمولًاً بعد از همگرایی به بردار ضرایب نیاز داریم) پیچیدگی محاسباتی کل با استفاده از این روش بسیار کمتر از روش‌هایی است که از الگوریتم‌های QRD-RL و IQRD-RL استفاده می‌کنند، که در آن‌ها بار محاسباتی در دوره ورق پذیری از مرتبه N^2 است.

در این مقاله به افزایش گذردهی^{۱۱} کانال فیدینگ چند مسیری متغیر با زمان HF، به وسیله همسان‌ساز بازخور تصمیم پرداخته شده است. به این منظور استفاده از الگوریتم فیلترینگ وفقی MC-FQRD-RLS به همراه ایده استخراج ضرایب در حالت داده^{۱۲} در چند لحظه مشخص، پیشنهاد شده است. لذا ایده اصلی و تفاوت روش پیشنهادی با روش‌های قبلی استخراج ضرایب در حالت داده در چند لحظه مشخص می‌باشد. نشان داده شده است که با استفاده از این روش در سیستم‌های آموزش

متوسط و توانایی کار در کانال‌های دارای نول، همسان‌ساز بازخور تصمیم را برای همسان‌سازی کانال چند مسیری متغیر با زمان HF مناسب نشان می‌دهد. ضرایب همسان‌ساز بازخور تصمیم توسط الگوریتم‌های وفقی بروز می‌شوند و نشان داده شده است که تنها الگوریتم RLS^{۱۳} توانایی کافی برای دنبال کردن تغییرات کانال متغیر با زمان HF را دارد است [۲]. متأسفانه الگوریتم RLS نسبت به خطاهای گسته‌سازی حساس می‌باشد، که این حساسیت عملکرد سیستم را به شدت تحت تأثیر قرار می‌دهد. نتایج شبیه‌سازی‌های کامپیوترا در محیط دقت محدود^{۱۴} نشان می‌دهد که عملکرد الگوریتم RLS با کاهش طول کلمه به سرعت افت می‌کند [۳]. مشکل دیگر این الگوریتم بار محاسباتی بالای آن (از مرتبه N^2) می‌باشد که امکان پیاده سازی این الگوریتم را برای حالتی که طول فیلتر زیاد است، بسیار پیچیده می‌کند. برای کاهش بار محاسباتی، الگوریتم RLS سریع با سرعت همگرایی مشابه با الگوریتم RLS و بار محاسباتی از مرتبه N ارائه شده است. البته نشان داده شده است که این الگوریتم بسیار ناپایدار می‌باشد و این مقوله در محیط‌های متغیر با زمان بیشتر پدیدار می‌شود. مشکل پایداری عددی الگوریتم‌های خانواده RLS توسط الگوریتم‌های مبتنی بر تجزیه QR^{۱۵} برطرف شده است. الگوریتم‌های مبتنی بر QRD-RLS گزینه مناسبی برای کاربردهایی که در آن‌ها سرعت همگرایی اهمیت زیادی دارد و یک فیلتر وفقی بهینه، قابل اعتماد، و پایدار از نظر عددی مورد نیاز می‌باشد، هستند [۴]. همچنین در میان خانواده RLS الگوریتم فوق از بیشترین پایداری عددی برخوردار می‌باشد. الگوریتم QRD-RLS برخلاف RLS، که از LM ماتریس معکوس استفاده می‌کند، بر اساس تجزیه QR ماتریس خود همبستگی دیتای ورودی عمل می‌نماید. بعلاوه این الگوریتم دارای این نقیصه می‌باشد که، بردار ضرایب در هر لحظه از زمان در دسترس نمی‌باشد و برای محاسبه این بردار ضرایب بار محاسباتی اضافی به الگوریتم تحمیل می‌شود. این مشکل در الگوریتم IQRD-RLS^۷ معکوس برطرف شده است. بنابراین الگوریتم QRD-RLS به دلیل دارا بودن سرعت همگرایی بالا مانند الگوریتم RLS و همچنین خاصیت پایداری عددی الگوریتم QRD-RLS و عدم تحمیل بار اضافی برای بدست آوردن بردار ضرایب فیلتر می‌تواند به عنوان بستر مقایسه‌ای برای الگوریتم‌های مبتنی بر RLS باشد. بار محاسباتی

⁸Fast QRD-RLS (FQRD-RLS)

⁹Weight extraction (WE)

¹⁰Multichannel Fast QRD-RLS (MC-FQRD-RLS)

¹¹Throughput

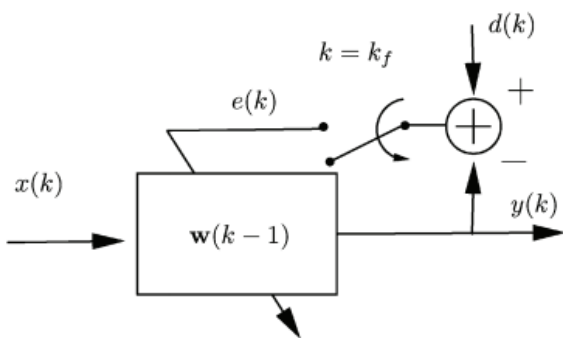
¹²Data mode

⁴Recursive least square

⁵Finite precision

⁶QR decomposition

⁷Inverse QRD-RLS (IQRD-RLS)



شکل ۱- ساختار همسانساز **Burst-trained**. همسانساز برای $k \leq k_f$ در حالت آموزش و برای $k > k_f$ در حالت داده است. توجه شود که برای $k > k_f$ فیلتر بروز نمی‌شود.

در کanal HF به دلیل تغییرات زمانی، زمان همدوسی کanal بسیار کم می‌باشد، بنابراین ضرایب فیلتر بدست آمده برای زمان کوتاهی قابل قبول می‌باشند و پس از مدتی به دلیل تغییرات کanal این ضرایب نیز باید بروز شوند. این موضوع باعث می‌شود که در هر فریم پس از ارسال دیتای آموزشی طول دیتای اصلی قابل ارسال کاهش یابد و لذا باعث کاهش گذرهای می‌شود. یک راه حل برای پیشگیری از افت گذرهای بروز Full-iteration ضرایب همسانساز برای تک تک نمونه‌ها می‌باشد (حالت **Burst-Trained**). این موضوع در شکل ۲ برای حالتی که همسانسازی به دو صورت **Full-iteration** و **Burst-trained** در **Burst-trained** در حالتی که از الگوریتم **MC-FQRD-RLS** و فقی در همسانساز بازخور تصمیم استفاده شده برای کanal HF نشان داده است. همان‌گونه که از شکل مشاهده می‌شود در همسانسازی به صورت **Burst-trained** به دلیل تغییرات کanal منحنی همگرایی در حال واگرا شدن می‌باشد در حالی که در همسانسازی به صورت **Full-iteration** این گونه نیست. همان‌طور که در شکل ۲ می‌بینیم برای حالتی که از الگوریتم در حالت **Burst-Trained** استفاده می‌شود، تنها ۲۰۰ نمونه اول **MSE** قابل قبولی دارند ولی در روش **Full-Iteration** تمام ۵۰۰ نمونه **MSE** قابل قبولی دارند. بنابراین میزان گذرهای برای حالتی که همسانسازی به صورت **Full-iteration** انجام می‌شود بسیار بیشتر است. اما بايد توجه داشت که به دلیل بار محاسباتی بالای الگوریتم‌های وفقی نمی‌توان بردار ضرایب را برای هر تکرار (نمونه) محاسبه نمود. در جدول ۱ پیچیدگی محاسباتی الگوریتم‌های مبتنی بر **RLS** آورده شده است. تفاوت حجم محاسبات الگوریتم‌های **IQRD-RLS** و

از این جدول قابل محاسبه می‌باشد.

خوشهای^{۱۳} همسانساز می‌تواند با استفاده از الگوریتم **RLS** و الگوریتم استخراج ضرایب در حالت داده در چند لحظه مشخص، به ازای اندکی محاسبات اضافی و قبل قبول نسبت به الگوریتم **MC-FQRD-RLS** در حالت همسانسازی به صورت-**Burst-Trained**، میزان گذرهای در کanal HF را افزایش دهد. این روش از این جهت قابل توجه می‌باشد که میزان افزایش گذرهای به ازای حجم محاسبات بسیار کمتر، مشابه با حالتی است که همسانسازی با استفاده از الگوریتم **MC-FQRD-RLS** به صورت **Full-Iteration** انجام شود. ساختار این مقاله در ادامه به این صورت می‌باشد که در بخش دوم نحوه همسانسازی کanal HF به صورت **Burst-trained** توضیح داده شده است. در بخش سوم به عملکرد الگوریتم **MC-FQRD-RLS** با الگوریتم **IQRD-RLS** مقایسه می‌شود و همچنین به توضیح روش ارائه شده در این مقاله برای همسانسازی کanal HF پرداخته شده است. در بخش چهارم نتایج شبیه‌سازی روش پیشنهادی ارائه شده است و در پایان در بخش پنجم به نتیجه‌گیری پرداخته شده است.

۲. همسانسازی کanal HF به صورت **Burst-Trained**

در این بخش چگونگی همسانسازی کanal HF به صورت **Burst-Trained** ارائه می‌شود. در همسانسازی به صورت **Burst-Trained** در کanal HF هر فریم ابتدا دنباله آموزشی ارسال می‌شود و پس از به دست آمدن بردار ضرایب همسانساز با استفاده از داده‌های آموزشی، عمل همسانسازی با این ضرایب انجام می‌شود. این موضوع در شکل ۱ نشان داده شده است. همان‌طور که از شکل دیده می‌شود ضرایب همسانساز برای زمان‌های $k \leq k_f$ با استفاده از سیگنال‌های ورودی و مطلوب $\{x(k), d(k)\}$ بروز می‌شود، به این دوره حالت آموزش^{۱۴} گفته می‌شود. در لحظه $k = k_f$ فرآیند بروز رسانی ضرایب متوقف می‌شود و از بردار ضرایب بدست آمده ($\mathbf{w}(k_f)$ برای فیلتر کردن (همسانسازی) استفاده می‌شود، به این مرحله حالت داده یا فیلترینگ گفته می‌شود و به این نوع همسانسازی **Burst-Trained** گفته می‌شود. خروجی همسانساز در این حالت به صورت زیر می‌باشد.

$$y(k) = \begin{cases} \mathbf{w}^H(k-1)x(k) & k \leq k_f \\ \mathbf{w}^H(k_f)x(k) & k > k_f \end{cases}$$

¹³Burst-Trained

¹⁴Data mode

جدول ۱- پیچیدگی محاسباتی الگوریتم‌های مبتنی بر RLS و الگوریتم جایگذاری بازگشته و الگوریتم استخراج ضرایب

Algorithm	MULT	DIV	SQRT
RLS	$3N^2 + 3N$	N	O
QRD_RLS	$4(N^2 + N)$	1	N
IQRD_RLS	$3N^2 + 4N + 1$	N	O
Backward Substitution	$(N^2 + N)/2$	N	N
MC-QRD_RLS	$14NM + 13M + 5N - 9 \sum_{i=1}^M N_i$	$3NM + 4M + 3 \sum_{i=1}^M N_i$	$2NM + 3M - 2 \sum_{i=1}^M N_i$
WE (per coeff j)	$5(N-j)M + 7(N-j) - \sum_{i=1}^M N_i$	O	O
WE (total)	$\sum_{l=1}^M \sum_{j=0}^{N_l} \left(5(N-j)M + 7(N-j) - \sum_{i=1}^M N_i \right)$	O	O

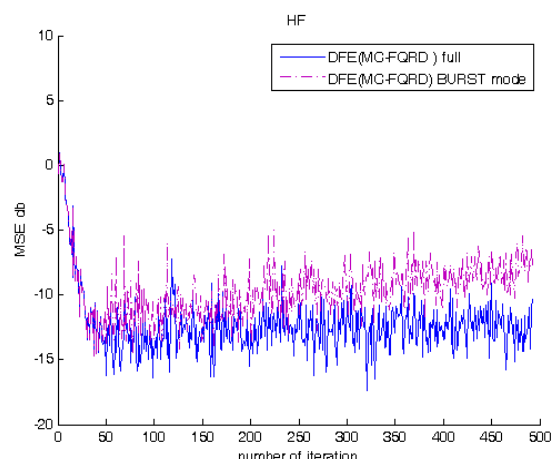
همچنین نشان داده خواهد شد که چگونه با استفاده از روش پیشنهادی می‌توان طول دیتای اصلی قابل ارسال و در نتیجه گذردهی در کانال متغیر با زمان HF را افزایش داد.

همان‌طور که در بخش ۲ بیان شد در حالت کلی به دلیل اینکه نمی‌توان در هر تکرار و برای هر نمونه عمل یافتن ضرایب کانال توسط همسان‌ساز را انجام داد (به دلیل حجم محاسبات بالا) از همسان‌سازی به صورت Burst-trained استفاده می‌شود. نتایج همسان‌سازی به صورت MC-FQRD توسط دو الگوریتم IQRD-RLS و MC-FQRD-RLS در کاربرد همسان‌ساز بازخور تصمیم برای یک کانال ثابت در شکل ۳ نشان داده شده است. با توجه به منحنی یادگیری حداقل مربعات خطای (MSE) همسان‌ساز مشاهده می‌شود که دو الگوریتم عملکرد یکسانی دارند و همچنین با توجه به جدول ۱ می‌بینیم که بار محاسباتی الگوریتم MC-FQRD-RLS بسیار کمتر است. بنابراین در حالت کلی از این الگوریتم برای همسان‌سازی کانال استفاده می‌نماییم. الگوریتم وفقی MC-FQRD-RLS و الگوریتم استخراج ضرایب استفاده شده در این مقاله در جدول‌های ۲ و ۳ پیوست ارائه شده‌اند. با توجه به شکل-۲ و ۳ دیده می‌شود که منحنی یادگیری MSE الگوریتم MC-FQRD-RLS در حالت Burst-trained و در کانال HF، برخلاف عملکرد آن در کانال ثابت، در حال واگرا شدن می‌باشد.

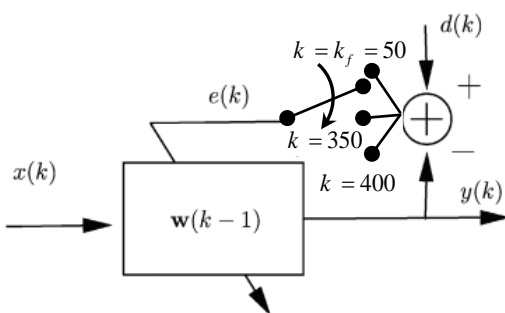
در این جدول N طول فیلتر و M تعداد کانال می‌باشد که برای همسان‌ساز بازخور تصمیم M برابر با دو می‌باشد.

۳. همسان‌سازی کانال HF توسط روش پیشنهادی

در این بخش ابتدا نشان داده خواهد شد که عملکرد الگوریتم MC-FQRD-RLS به همراه استفاده از الگوریتم استخراج ضرایب به ازای حجم محاسبات کمتر با الگوریتم IQRD-RLS، به عنوان یک بستر مقایسه، یکسان می‌باشد. همچنین نشان داده خواهد شد که چگونه با استفاده از روش پیشنهادی می‌توان طول دیتای اصلی قابل ارسال و در نتیجه گذردهی در کانال متغیر با زمانی مانند کانال HF را افزایش داد.

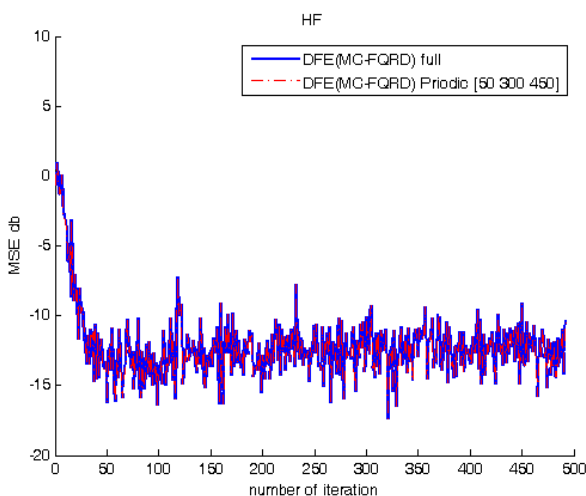


شکل ۲- منحنی یادگیری MSE الگوریتم MC-FQRD-RLS در کاربرد DFE برای کانال HF. همسان‌سازی به دو صورت Full-Iteration و Burst-Trained انجام شده است.

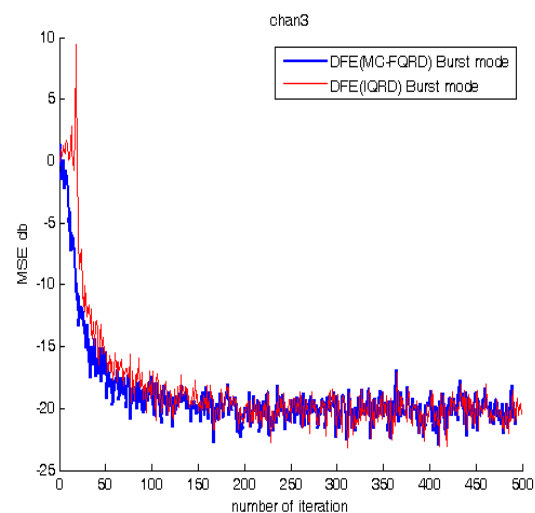


شکل ۴- ساختار همسانسازی به صورت روش پیشنهادی. همسانساز برای $k \leq k_f$ در حالت آموزش و برای $k > k_f$ در حالت داده است و ضرایب همسانساز برای لحظات $k = 400, k = 350, k = k_f = 50$ بروز می‌شود.

همان‌طور که از شکل ۵ مشاهده می‌شود منحنی یادگیری MSE همسانسازی به دو صورت روش پیشنهادی و Full-Iteration بر هم منطبق شده است. با توجه شکل‌های ۲ و ۵ می‌بینیم که تنها با دو بار استفاده اضافی از الگوریتم MC-FQRD-RLS به همراه الگوریتم استخراج ضرایب، سمبلهای ۲۰۰ به بعد نیز دارای MSE قابل قبولی می‌باشند. بنابراین در یک فریم به جای ارسال تنها ۱۵۰ داده معتبر، ۴۵۰ داده معتبر (۵۰ نمونه اول مربوط به دنباله آموزشی می‌باشد) را به ازای اندکی محاسبات بیشتر از حالتی که همسانسازی به صورت Burst-Trained انجام می‌شود، و به ازای محاسبات بسیار کمتر از حالتی که همسانسازی به صورت Full-Iteration انجام می‌شود با توجه به بار محاسباتی ارائه شده در جدول ۱، ارسال نموده‌ایم. در واقع با این روش همسانسازی گذردهی کانال به ازای حجم محاسبات قابل قبولی افزایش مطلوبی یافته است.



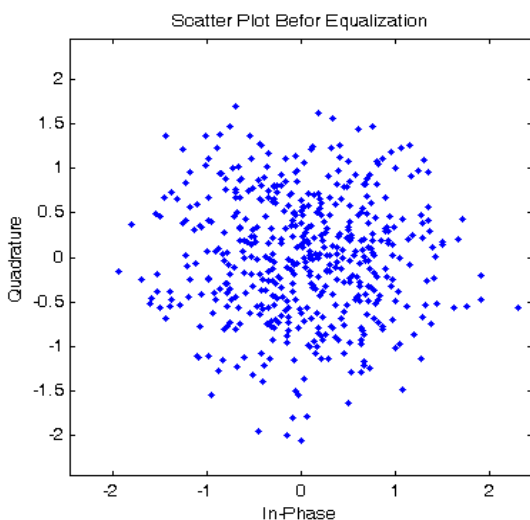
شکل ۵- منحنی یادگیری MSE الگوریتم MC-FQRD-RLS در کاربرد DFE برای کانال HF. همسانسازی به دو صورت روش پیشنهادی و حالت Full-iteration انجام شده است. منحنی‌های همگرایی دو روش بر هم منطبق شده است.



شکل ۳- منحنی یادگیری MSE برای دو الگوریتم MC-FQRD و IQRD-RLS در کاربرد DFE برای کانال ثابت. همسانسازی به صورت Burst-Trained انجام شده است.

در شکل ۴ نشان داده شده است که چگونه در روش پیشنهادی با استفاده متناوب از الگوریتم MC-FQRD-RLS به همراه الگوریتم استخراج ضرایب در حالت داده، به ازای محاسبات بسیار کمتر می‌توان به نتایجی مشابه با حالتی که همسانسازی به صورت Full-Iteration انجام می‌شود، دست یافت. همان‌طور که از شکل (۴) مشاهده می‌شود، در همسانسازی با استفاده از روش پیشنهادی پس از اتمام دوره آموزشی در لحظات $k = 400, k = 350, k = k_f = 50$ بردار ضرایب استخراج می‌شود و از این بردار ضرایب برای همسانسازی کانال در لحظات بعدی استفاده می‌شود. لحظاتی که برای استخراج بردار ضرایب پیشنهاد شده به صورت آزمایشی و توسط شبیه‌سازی کامپیوتری بدست آمده است. خروجی همسانساز در این حالت به این صورت بدست می‌آید.

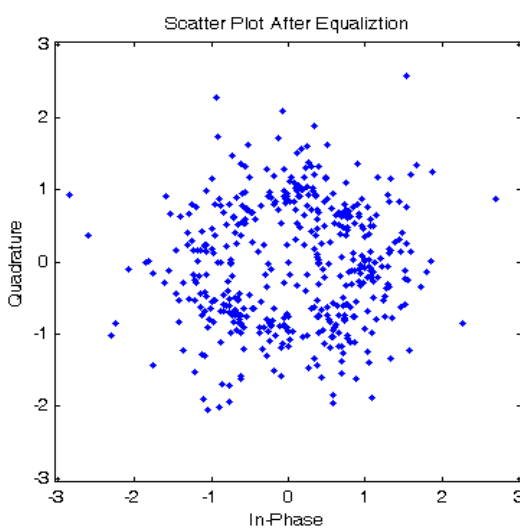
$$y(k) = \begin{cases} \mathbf{w}^H(k-1)\mathbf{x}(k) & k \leq k_f = 50 \\ \mathbf{w}^H(k-1)\mathbf{x}(50) & k_f > k > 300 \\ \mathbf{w}^H(k-1)\mathbf{x}(300) & 300 > k > 450 \\ \mathbf{w}^H(k-1)\mathbf{x}(450) & 450 > k \end{cases}$$



شکل ۵- نمودار فلکی دنباله سمبیل ارسالی قبل از ورود به همسان‌ساز.

۵. نتیجه‌گیری

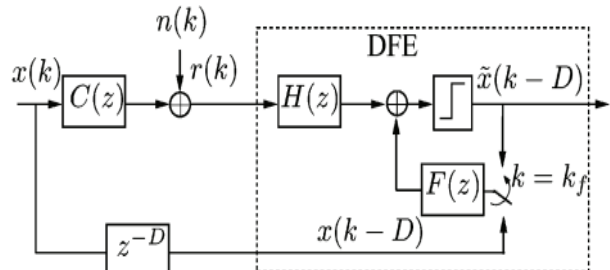
در این مقاله به افزایش گذرهای کانال فیدینگ چند مسیری متغیر با زمان HF به وسیله همسان‌ساز بازخور تصمیم پرداخته شده است. به این منظور استفاده از الگوریتم فیلترینگ وفقی MC-FQRD-RLS به همراه ایده استخراج ضرایب در چند لحظه مشخص در حالت داده، پیشنهاد شده است. در حالت همسان‌سازی به صورت Burst-Trained همسان‌ساز نشان داده شده است.



شکل ۶- نمودار فلکی دنباله سمبیل ارسالی پس از عبور از همسان‌ساز. همسان‌سازی به صورت **Burst-Trained** انجام می‌شود.

۴. شبیه‌سازی

در این بخش یک همسان‌ساز بازخور تصمیم مانند شکل ۲ در نظر می‌گیریم. همسان‌ساز DFE را می‌توان یک فیلتر چند کاناله با تعداد کانال در نظر گرفت. در شبیه‌سازی طول فیلتر تغذیه مستقیم برابر با ۹ و طول فیلتر تغذیه پسرو برابر با ۸ می‌باشد.



شکل ۴- ساختار همسان‌ساز بازخور تصمیم (DFE).

در شبیه‌سازی با توجه استاندارد MIL-STD-188-110B، کانال HF با این مشخصات درنظر گرفته شده است: یک کانال دو مسیره با شیفت داپلر 0.25 Hz ، گستردگی زمانی 1ms ، تابع چگالی طیف توان (یا طیف داپلر) هر یک از مسیرها گوسی می‌باشد و تأخیر ناشی از این کانال نیز ۴ نمونه می‌باشد. دنباله سمبیل ارسالی شامل ۵۰۰ سمبیل 8PSK می‌باشد که به صورت تصادفی انتخاب شده‌اند و دنباله آموزشی $d(k)$ از ۵۰ سمبیل اول همین دنباله سمبیل تصادفی 8PSK ایجاد شده است. SNR برابر با 22db و فاکتور فراموشی برابر با $\lambda=0.99$ انتخاب شده است و دنباله آموزشی به اندازه چهار نمونه تأخیر یافته است. منحنی‌های یادگیری، نتیجه میانگین‌گیری ۱۰۰ بار اجرای برنامه می‌باشند.

در شکل ۵، نمودار فلکی دنباله سمبیل ارسالی پس از عبور از کانال و پیش از ورود به همسان‌ساز رسم شده است. در شکل ۶ نمودار فلکی دنباله ارسالی پس از عبور از همسان‌ساز و برای حالتی که همسان‌ساز از حالت Burst-Trained استفاده می‌کند رسم شده است تا بتوان عملکرد آن را با همسان‌سازی به صورت روش پیشنهادی مقایسه نمود.

در شکل ۷، نمودار فلکی دنباله ارسالی پس از عبور از همسان‌ساز و برای حالتی که همسان‌ساز در حالت داده نیز بردار ضرایب را در لحظات 300 و 450 محاسبه می‌کند و عمل همسان‌سازی را انجام می‌دهد، رسم شده است.

پیوست ۱

جدول ۲- الگوریتم وفقی MC-FQRD-RLS

Multiple order sequential MC-FQRD-RLS algorithm
Initialization:

$$d_{fq2}^{(l)}(0) = O_{P \times 1}$$

$$f^l(O) = O_{P \times 1}$$

$$d_{q2}(O) = O_{P \times 1}$$

$$\gamma^{(0)}(k) = 1; \|e_f^{(l)}(O)\| = \mu \text{ (a small constant)}$$

$$Q_\theta^{(0)}(k) = I_{P+1 \times P+1}$$

$$Q_{\theta f}^{(1)}(k) = I_{P+1 \times P+1}$$

for each k

{

$$Q_{\theta f}^{(1)}(k) = Q_{\theta f}^{(M)}(k-1)$$

$$Q_{\theta f}^{(0)}(k) = Q_\theta(k-1) = Q_{\theta f}^{(M)}(k-1)$$

$$f^{(0)}(k) = f^{(M)}(k-1)$$

for each l from 1 to M

{

Compute $d_{fq2}^{(l)}(k)$:

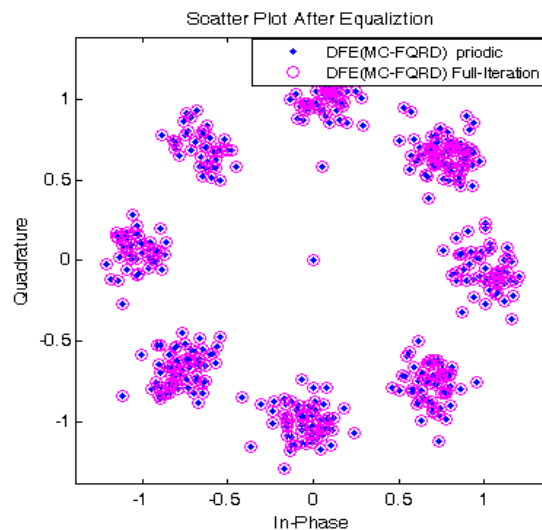
$$e_{fq1}^{(l)}(k) = x_l(k)$$

$$\begin{bmatrix} e_{fq1}^{(l)}(k) \\ d_{fq2}^{(l)}(k) \end{bmatrix} = Q_\theta^{(l-1)}(k-1) \begin{bmatrix} x_l(k) \\ \lambda^{1/2} d_{fq2}^{(l)}(k-1) \end{bmatrix}$$

Compute $\|e_f^{(l)}(k)\|$:

$$\|e_f^{(l)}(k)\| = \sqrt{(e_{fq1}^{(l)}(k))^2 + \lambda \|e_f^{(l)}(k-1)\|^2}$$

Compute $Q_{\theta f}^{(l)}(k)$:



شکل ۷- نمودار فلکی دنباله سمبیل ارسالی پس از عبور از همسان‌سازی. همسان‌سازی به دو صورت Full_Iteration و روش پیشنهادی انجام شده است. سمبیل‌های دریافتی در هر دو روش برم متنطبق شده‌اند.

می‌تواند با استفاده از الگوریتم MC-FQRD-RLS به همراه الگوریتم استخراج ضرایب در چند لحظه مشخص در حالت داده، به ازای محاسبات بسیار کمتر از الگوریتم IQRD-RLS در حالت-Burst-Trained و همچنین به ازای اندکی محاسبات اضافی و قابل قبول نسبت به الگوریتم MC-FQRD-RLS در حالت Burst-Trained، میزان گذردهی کانال HF را افزایش دهد. همچنین این روش بدان جهت قابل توجه می‌باشد که میزان افزایش گذردهی به ازای محاسبات بسیار کمتر، مشابه با حالتی است که همسان‌ساز از الگوریتم MC-FQRD-RLS برای همسان‌سازی به صورت Full-Iteration، که حجم محاسباتی بالا و غیرقابل قبولی دارد، استفاده نماید. در نتیجه گذردهی کانال در همسان‌سازی به کمک روش پیشنهادی به ازای حجم محاسبات قابل قبولی افزایش یافته است.

$u_{l,j+1}(k) = u_{l,j-1}^{(M)}(k-1)$ <p>Compute $w_{l,j+1}(k)$:</p> $w_{l,j+1}(k) = u_{l,j+1}^H(k) d_{q2}(k)$ <p style="text-align: center;">}</p> <p style="text-align: center;">}</p>

مراجع

- [1]. D. D. Falconer, E. Eleftheriou, "Adaptive Equalization Techniques for HF Channels" IEEE Journal on Selected Areas in Communication, Vol. SAC-5, NO. 2, February 1987.
- [2]. F. M. Hsu, "Square Root Kalman Filtering for High-Speed Data Received over Fading Dispersive HF Channels," IEEE Transaction on Information Theory, Vol. IT-28, No. 5, September 1982.
- [3]. S. Haykin, Adaptive Filter Theory, 3rd ed. Englewood Cliffs, NJ: Prentice-Hall, 1996.
- [4]. J. A. Apolinário Jr., QRD-RLS Adaptive Filtering. New York: Springer, 2009.
- [5]. M. Shoaib, S. Werner, J. A. Apolinário, Jr., and T. I. Laakso, "Solution to the weight extraction problem in FQRD-RLS algorithms," in Proc. Int. Conf. Acoust., Speech, Signal Process. (ICASSP'06), Toulouse, France, May 2006.
- [6]. M. Shoaib, S. Werner, J. A. Apolinário, Jr., and T. I. Laakso, "Multi-channel fast QR-decomposition RLS algorithms with explicit weight extraction," in Proc. EUSIPCO' 2006, Florence, Italy, Sep. 2006
- [7]. G. J. Bierman, Factorization Methods for Discrete Sequential Estimation. New York: Academic, 1977.
- [8]. M. Shoaib, S. Werner, J. A. Apolinário, Jr. "Multichannel Fast QR-Decomposition Algorithms: Weight Extraction Method and Its Applications," IEEE Trans. Signal Process., vol. 58, no. 1, pp. 175-188, January 2010
- [9]. D. T. M. Slock, "Reconciling fast RLS lattice and QR algorithms," in Proc. Int. Conf. Acoust., Speech, Signal Process. (ICASSP'90), Albuquerque, NM, Apr. 1990, vol. 3, pp. 1591-1594.
- [10]. J. G. Proakis, M. Salehi, Digital Communications. New York: McGraw-Hill, 2008.

جدول ۳- الگوریتم استخراج ضرایب برای الگوریتم MC-FQRD-RLS
Weight extraction at any chosen time instant k
Available from the MC-FQRD-RLS algorithm:
$f(k), \gamma^{(M)}(k), Q_\theta(k), d_{fq2}^{(i)}(k),$
$\ e_f^{(i)}(k-1)\ , Q_{\theta f}^{(i)}(k)$ and $d_{q2}(k), i = 1, \dots, M$
for each $i=1:M$
{
Initialization:
$x_i = 0, \forall i \in \{1, N_l\}$
$x_l = 1$
$u_{l,-1}(k-1) = O_{P \times 1}$
Compute $u_{l,j+1}(k-1)$ from $u_{l,j+1}(k)$
$z_j(k) = -f^H(k)u_{l,j+1}(k)/\gamma^{(M)}(k)$
$\begin{bmatrix} 0 \\ \lambda^{-1/2}u_{l,j+1}(k-1) \end{bmatrix} = Q_\theta^H(k) \begin{bmatrix} z_j(k) \\ u_{l,j+1}(k) \end{bmatrix}$
Compute $u_{l,j+1}(k)$ from $u_{l,j}(k-1)$
for each $j=0:N_l - 1$
{
$u_{l,j}^{(0)}(k-1) = u_{l,j-1}(k-1)$
for each $i=1:M$
{
$w_{f,j}^{(i)}(k-1) = x_i - [u_{l,j-1}^{(i-1)}(k-1)]^H d_{fq2}^{(i)}(k)$
$\begin{bmatrix} -w_{b,j}^{(i)}(k-1) \\ \ e_b^{(i)}(k-1)\ \\ u_{l,j}^{(i)}(k-1) \end{bmatrix} = \Pi_i Q_{\theta f}^{(i)}(k) \begin{bmatrix} u_{l,j}^{(i)}(k-1) \\ -w_{f,j}^{(i)}(k-1) \\ \ e_f^{(i)}(k-1)\ \end{bmatrix}$
}